

空蘭工業大学 正会員 境 隆雄  
 全 上 全上 ○近藤 俊郎  
 全 上 全上 寺島 拓郎

1. まえがき：流域面積が小さい海岸湖沼の水理は、河川などによる陸地からの流入の影響が小さいから主として潮汐によって支配される。従つて湖面水位および湖口の流れを解析的に求める場合には、通常では潮汐だけを考慮しても事足りる。しかしながら、そのような海岸湖沼であつても洪水とか人工的に大規模な捨排水をするときには、水位および湖口流にかなり大きな影響を及ぼすはずである。そしてこのような現象を調べることは湖岸地域の防災、湖水の交流、湖口水路の航行および水深維持の面で必要である。本文は洪水の流入がある場合を対象として、この問題を単純化して湖水位と湖口流速を求める理論を導き、一例について数値解法と比較したものである。

2. 考へ方と基礎となる式：図-1のような表面積  $S$  の海岸湖沼が長さ  $l$ 、幅員  $B$ 、水深  $h$  の広幅員の長方形水路で海と結ばれているとする。この水路内の流速  $u$  と平均水面から鉛直上向きに割つた水位  $\eta$  は次の不定流の連続、運動の方程式と水路両岸における境界条件を用いて解くことで求められる。

$$\eta_t + [u(h + \eta)]_x = 0 \quad \text{---- (1)}$$

$$u_t + uu_x = -g\eta_x - n^2 g u |u| / h^{4/3} \quad \text{---- (2)}$$

ここで  $g$ ：重力の加速度， $n$ ：Manning の流速公式における粗度係数

またサニックス  $\tau$ ， $\epsilon$  は偏微分を示す。

境界条件の一つとして水路の海側の端 ( $x=0$ ) における水位が外海の潮位に等しいものとして与えられるとする。また湖沼の平均水深が水路水深  $h$  よりもかなり大きいとすれば、湖面はいたるところ等水位とみなすことができる。そうすれば湖側の端 ( $x=l$ ) において流量の連続の条件によつて次の関係がある。

$$Ac u(l, t) = S \eta_t(l, t) - Q_R \quad \text{---- (3)}$$

ここで  $Ac = Bh$  とする。

これらの境界条件を用いて、(1)、(2) の方程式を解けば  $u$ 、 $\eta$  が求まるがこれらは非線形でありこのまゝでは解析的な解が得られない。そのため影響の小さい項を無視し摩擦抵抗項を線形化することが必要である。最も一般的なものは下式のものである。

$$\eta_t + u_x h = 0 \quad \text{---- (4)}$$

$$u_t + g\eta_x + k u = 0 \quad \text{---- (5)}$$

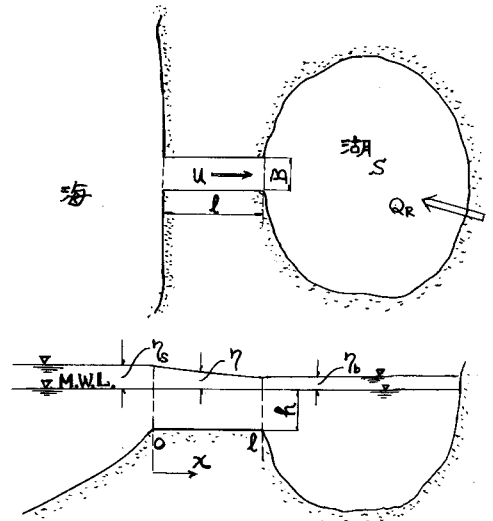


図-1

潮汐だけの場合 ( $Q_R = 0$ ), それを単振動であるときには (4), (5) 式を解いて  $u, \eta$  が求められている。<sup>1), 2), 3)</sup> その場合の外海潮汐  $\eta_s$  および  $h$  は次のようになる。

$$\eta_s = a \cos(\omega t - \alpha) \quad \text{----- (6)}$$

$$h = \frac{g}{3\pi} \cdot \frac{n^2 g U_{max}}{k^2 h^3} \quad \text{----- (7)}$$

ここで,  $a$ : 外海潮汐の振幅,  $\omega = 2\pi/T$ ,  $T$ : 潮汐の周期,  $\alpha$ : 位相。

しかし, その場合の  $u, \eta$  を求めた式もかなり複雑なので, より簡略な解を得るために次のような単純化を行なう。いずれも (2) あるいは (5) の運動方程式に  $\omega$  である。

(i)  $u_t$  を無視する。<sup>3)</sup>

(ii)  $\eta_x$  を水路全体について一定とする。<sup>4)</sup> すなわち水路への流入の損失を無視できる場合には  $\eta$  は次のようにあらわすことができる。

$$\eta_x = (\eta_b - \eta_s) / l \quad \text{----- (8)}$$

ただし  $\eta_b$  は湖の水位であり,  $h > \eta_b = \eta(l, t)$  である。

上の (i), (ii) の条件はそれぞれ独立したものである。この中 (ii) の条件を受け入れたならば (5) 式より  $u$  は水路全体について等しい値をとりことになり, (4) 式は連続の式として無意味になり, その場合は (3) 式が連続の式となる。

3. 線形抵抗を用いた理論解:  $Q_R$  を考慮した場合のこの問題に対する従来の研究は, Kreeke<sup>5)</sup> が上記の (i), (ii) の両条件のもとで  $Q_R$  が正弦曲線的に変化する場合についての解を得ている。

いま, (ii) の条件のみに (5) 式における  $u_t$  を無視しないで解くことを考えることとする。その場合の運動, 連続の式は,

$$\frac{du}{dt} + g(\eta_b - \eta_s) \frac{1}{l} + k u = 0 \quad \text{----- (9)}$$

$$\frac{d\eta_b}{dt} = \frac{Ac}{S} u + \frac{Q_R}{S} \quad \text{----- (10)}$$

これら両式より  $u$  および  $\eta_b$  に関する微分方程式は次のようになる。

$$\frac{du}{dt} + k \frac{du}{dt} + \left(\frac{Acg}{lS}\right) u + \frac{g}{l} \left(\frac{Q_R}{S} - \frac{d\eta_b}{dt}\right) = 0 \quad \text{----- (11)}$$

$$\frac{d^2\eta_b}{dt^2} + k \frac{d\eta_b}{dt} + \left(\frac{Acg}{lS}\right) \eta_b - \left[\frac{1}{S} \frac{dQ_R}{dt} + \frac{kAcQ_R}{S} + \frac{Acg}{lS} \eta_s\right] = 0 \quad \text{----- (12)}$$

上式は線形非同次の微分方程式であり, その解は  $Q_R$  および  $\eta_s$  によって定められる。 $Q_R$  は一般に高周波に解析的表現をなすのは困難な性質のものであるが, ここでは洪水を対象としていることから次のような単純な表現を用いる。

$$Q_R = Q_0 + Q_f r t e^{(1-rt)} \quad \text{----- (13)}$$

ただし,  $r = (1/T_f)$ ,  $T_f$ : 洪水出水開始から最大出水までの時間

この  $Q_R$  を (6) 式, (8) 式に代入して, 求められた  $\eta_b, u$  は下式のとおりである。

$$\eta_b = A_1 \cos(\omega t - \alpha) + A_2 \sin(\omega t - \alpha) + B_0 + (B_1 + B_2 r t) e^{(1-rt)} + C_1 e^{m_1 t} + C_2 e^{m_2 t} \quad \text{---- (14)}$$

$$u = \frac{S}{Ac} \left\{ -\omega \{A_1 \sin(\omega t - \alpha) - A_2 \cos(\omega t - \alpha)\} + r \{B_2(1-rt) - B_1\} e^{(1-rt)} + C_1 m_1 e^{m_1 t} + C_2 m_2 e^{m_2 t} - \frac{Q_R}{S} \right\} \quad \text{---- (15)}$$

こゝで

$$A_1 = ajk(jk - \alpha^2) / [(jk - \alpha^2)^2 + k^2\alpha^2], \quad A_2 = a\alpha jk^2 / (jk - \alpha^2 + k^2\alpha^2)$$

$$B_0 = klQ_0 / Acg, \quad B_1 = Q_f r [jk - (r-k)^2] / (r^2 - kr + jk)^2 S$$

$$B_2 = Q_f (k-r) / (r^2 - kr + jk) S, \quad m_1 = (-k + \sqrt{k^2 - 4jk}) / 2, \quad m_2 = -(k + \sqrt{k^2 - 4jk}) / 2$$

$j = Acg / lS k$ ,  $C_1, C_2$  は初期条件によって定まる定数。

(14) (15) で表わされた  $\eta_b$ ,  $u$  はかなり冗長である。そこで前節の (i), (ii) の両条件のもとで  $u$ ,  $\eta_b$  を求めることにする。その場合は (12) 式は次のように書き直される。

$$k \frac{d\eta_b}{dt} + j\eta_b - [j\eta_s + k \frac{AcQR}{S}] = 0 \quad \text{----- (16)}$$

この式を前出の  $\eta_s, QR$  について解くと  $\eta_b$  は次のように得られる。

$$\eta_b = a \frac{j}{\sqrt{j^2 + \alpha^2}} \cdot \cos(\alpha t - \alpha - \beta) - \frac{Q_f r e^{-(r-t)}}{S \cdot (r-j)^2} [(r-j)t + 1] + \frac{Q_0}{jS} + C_3 e^{-jt} \quad \text{---- (17)}$$

こゝで  $\beta = \tan^{-1}(\alpha/j) = \tan^{-1}(\alpha ksl / Acg)$ ,  $C_3$  は初期条件による定数

また  $u$  は上の  $\eta_b$  を下式に代入することによって求まる。

$$u = g(\eta_s - \eta_b) / kl \quad \text{----- (18)}$$

なお、(17) 式は  $r=j$  の場合に適用されるものであり、 $r=j$  のときには右辺の第 2 項が異なってくるから同式は次のようになる。

$$\eta_b = a \frac{r}{\sqrt{r^2 + \alpha^2}} \cdot \cos(\alpha t - \alpha - \beta) - \frac{Q_f r e^{-t}}{S \cdot 2} + \frac{Q_0}{rS} + C_3 e^{-rt} \quad \text{----- (19)}$$

5. 計算例：(17), (18) の簡略理論式を用いて、近く着工される予定のオホーツク海沿岸の能取湖の新湖口水路について計算してみた。現状の湖口水路は春夏季のサ開口し、秋には凍砂により閉塞する過程を繰り返している。同湖の表面積は 58.5 (km<sup>2</sup>)、流域面積は 130 (km<sup>2</sup>) であってその比は比較的小さい。以下の計算に用いた数値は次の通りである。

$$\alpha = 2\pi / T_t = 2\pi / 24 \times 50 \text{ min}, \quad a = 0.5 \text{ (m)}$$

$$h = 4.0 \text{ (m)}, \quad B = 150 \text{ (m)}, \quad l = 600 \text{ (m)}, \quad n = 0.025$$

$QR$  は次のように推定した。

$$Q_0 = 0, \quad Q_f = 500 \text{ (m}^3\text{/sec)}, \quad T_f = 2.0 \text{ hr}$$

このよゝな  $QR$  をとると、湖水位の初期値  $\eta_b(0)$  は潮汐だけで定まる値をとっているはずであるから、その定常状態をとるとすれば (17) 式の  $\eta_b$  は次のようにおける。

$$\eta_b = a \frac{j}{\sqrt{j^2 + \alpha^2}} \cdot \cos(\alpha t - \alpha - \beta) - \frac{Q_f r e^{-t}}{S(r-j)^2} [(r-j)t + 1] e^{-t} - e^{-jt} \quad \text{---- (20)}$$

図-2, 3 は  $\alpha = 0, \pi$  の 2 種類の位相について  $\eta_b$  と  $u$  を計算した結果をグラフであらわしたものである。 $\eta_b$  と  $u$  ともに  $\eta_s$ , また潮汐だけで起る  $\eta_b = \eta_{b0}$  といずれも曲線を示してある。そして理論値を検証する目的で数値解法によって求めた値を  $u, \eta_b$  であらわしてある。数値解法は (9) 式における  $ku$  の項を本来の姿の  $n^2 g |u| u / h^3$  で置き換えて、それと (10) 式から  $u$  および  $\eta_b$  を図

する微分方程式を差分化して逐次計算  
 する方法を用いた。この例ではいずれ  
 の場合も水路への流入損失水頭を考慮  
 している。理論解では $k$ の選択はきわ  
 めて重要であるが、 $Q_R$ が不定流の場  
 合にはその選択に因りては不明な突が  
 多い。この例では数値解法で計算した  
 $U_{max}$ を用いて(7)式により計算した $k$ を  
 使用している。 $\eta_b$ について理論値と数  
 値解法を比較すると前者の振幅が若干  
 小さなのが全体としては良く合っている  
 。 $k$ 値について更に検討を加えるら  
 ばこの理論式によってもかなりの精度  
 で $\eta_b$ ,  $U$ を求めることができると思  
 われる。洪水の $\eta_b$ に及ぼす効果は $\alpha =$   
 $0$ のときには約 10 cm 高潮位を、 $\alpha =$   
 $\pi$ のときには約 5 cm 低潮位を上昇さ  
 せることがわかった。なお、.....は現状  
 の湖口水路についての数値解法による  
 計算結果を示している。現状では洪水  
 流入の影響がきわめてけん着であるが  
 潮汐の流入が小さいので潮水位は計画  
 水路の場合よりかなり低い状態に留  
 まっている。

本研究はその一部を昭和43年度科学  
 研究費補助金(一般研究)によってい  
 うことを付記する。

- 1) 樋口明生： 堰水道の水位変化に関する模型  
実験について、第6回海岸工学講演会、1959年11月
- 2) 今上： 今上(2)、第8回今上、1961年9月
- 3) 近藤俊郎： 湖口水路における潮汐の線形解  
土木学会支部論文集(昭43年度)、1969年2月
- 4) Baines, W. Douglas: Tidal currents in con-  
stricted inlets, Proc. 6th Conf. on Coastal Engrg.,  
1957
- 5) Kreeke, Jacobus van de: Water-Level Fluctua-  
tions and Flow in Tidal Inlets, J. of Water-  
ways and Harbor Division, Proc. of ASCE, WW-  
November, 1967

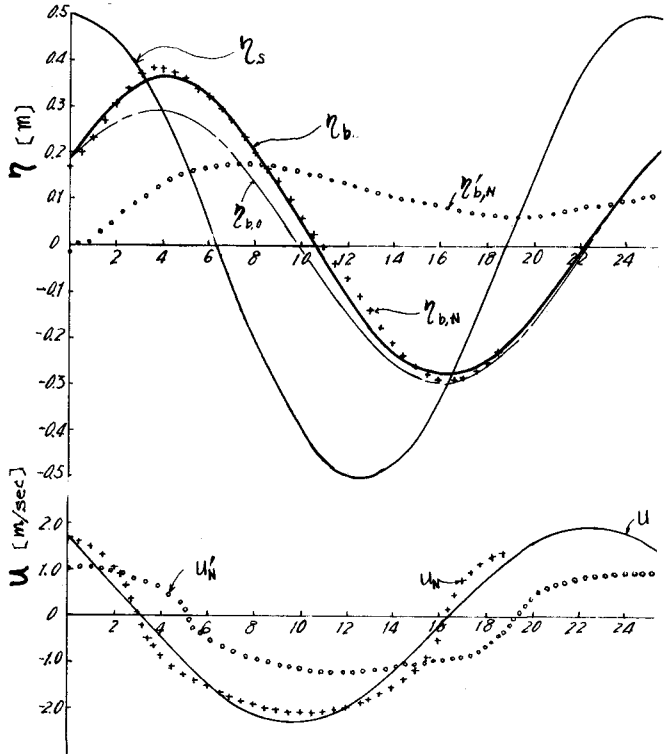


図-2.  $\eta_b$  と  $U$  ( $\alpha = 0$ )

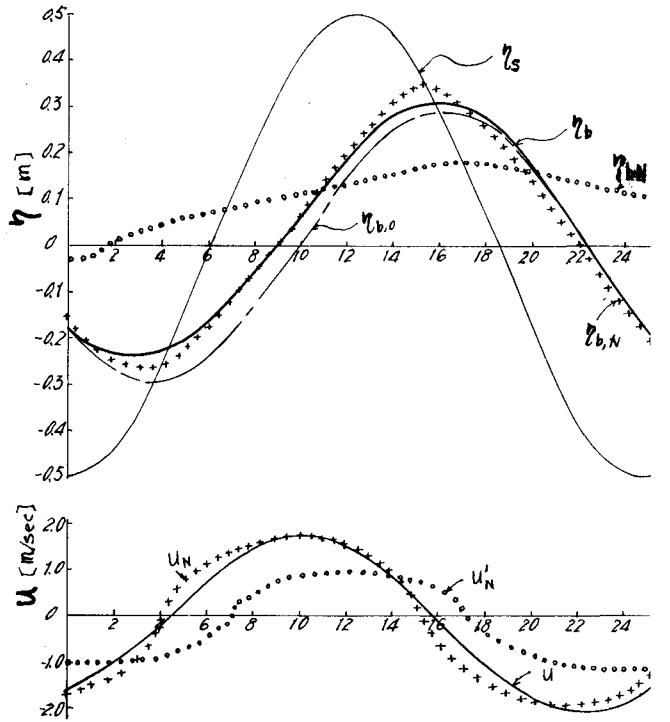


図-3.  $\eta_b$  と  $U$  ( $\alpha = \pi$ )